

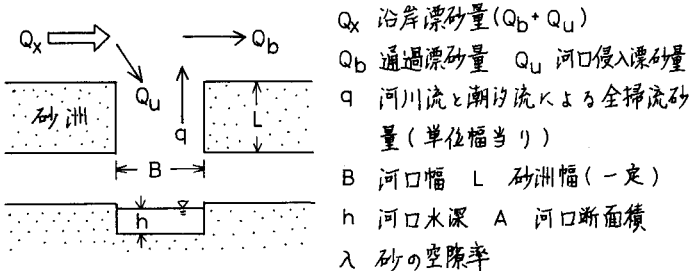
東北大学 学生員 ○青田茂雄
 東北大学 正員 首藤伸夫
 東北大学 学生員 田中 仁

1. まえがき 福島県いわき市植田町の鮫川河口は 昭和52年9月20日の台風による異常出水のため 河口砂洲が崩壊した。2,3ヶ月間 崩壊部は著しく縮小変形し 旧河口も閉塞して現河口となり その後もゆく り変形移動し 現在Kを至っている。そこで今回 河口近くに位置する勿来発電所が独自に測定した河口変化図を参考して 河口を単純モデル化し 砂の連続の式を基に 崩壊後約3ヶ月間の河口変形の解析を試みた。

2. 流量状況(Fig. 2) 鮫川は 河口から上流約6Kmのところに 工業用水の取水ダムがあり 河川固有の流量は限られたものとなる。また河口付近には 発電所の排水口(Fig. 1)があり その排水量と位置は かなり河口変形に寄与しているものと思われる。一方潮汐は 前述のようなく 河川流量が限られているため その潮汐プリズムを流量に換算した量は 河川と発電所排水を合わせた流量を上回る程になっている。従ってこの鮫川の場合 河口変形に対する潮汐の影響は無視できないものと考え 河川流量 Q_w は 河川固有流量、発電所排水量と潮汐プリズムを合計したものを使いた。

3. 河口変形状況(Fig. 1) 砂洲崩壊後 排水の河口流入を遮るように砂洲が生じ 再びその砂洲がなくなるとともに 左岸砂洲が後退した。(この変形のあた区间Bは 他の区间と比べ 特異であるため 解析対象から除いた。) その後は 左岸砂洲がほとんど後退しないのに対し 右岸砂洲が急激に前進し 河口幅を小さくした。区间H以降の変形は かなりゆくくりとなり 数ヶ月間で 10m程度縮小したKとどまった。

4. 砂の連続の式



$$(1 - \lambda) L \frac{dA}{dt} = qB - Q_U \quad (1)$$

λとして Kalinske - Brown型掃流砂量公式

$$q/u_* d = K (u_*^2 / sgd)^m \quad (s = f_s / f - 1) \quad (2)$$

を用い 流量 Q_w と断面積 A で次式に変形する

$$q = K_1 \left(\frac{Q_w}{A} \right)^{2m+1}, \quad K_1 = \frac{Kd}{(sgd)^m} \left(\frac{n\sqrt{g}}{h^{1/6}} \right)^{2m+1} \quad (3)$$

一方 Q_U は Caldwell型漂砂量公式を用いる

$$Q_U = \alpha E_x^n$$

一時 $Q_x = Q_U$ とおき 沖波を用いて表わすと

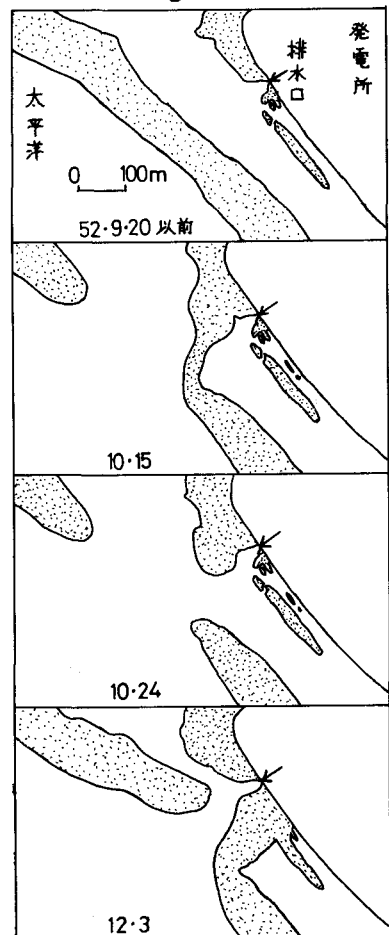


Table 1

掃流砂 公式	グラフよ り得た式	Brown	Kalinske	Engelund -Hasen	佐藤吉川 芦田
$Q_x (m^3/m s)$	2.4×10^{-4}	5.1×10^{-5}	3.1×10^{-5}	8.3×10^{-5}	4.7×10^{-7}

$$Q_u = K_2 (H_o^2 T_o \sin 2\theta)^n, K_2 = \alpha (\rho g^2 / 64 \pi)^n \quad (4)$$

となり、連続の式(1)は次式となる

$$(1-\lambda)L \frac{dA}{dt} = K_1 \left(\frac{Q_w}{A} \right)^{2m+1} B - K_2 (H_o^2 T_o \sin 2\theta)^n$$

さうしてここで $h = \text{const.}$ と仮定すると

$$Y = aX + b \quad (5)$$

$$Y = \frac{(dB/dt)}{(Q_w/B)^{2m+1} B}, X = \frac{(H_o^2 T_o \sin 2\theta)^n}{(Q_w/B)^{2m+1} B}$$

$$a = -K_2/(1-\lambda)Lh, b = K_1/(1-\lambda)Lh^{2(m+1)}$$

とまとめられる。次に(5)式において $dB/dt = 0$ とおき 安定時の河口幅 B について解く。

$$B^{2m} = -\frac{b}{a} \frac{Q_w^{2m+1}}{(H_o^2 T_o \sin 2\theta)^n} \quad (6)$$

5. 結果 (5)式において $n=1$ とし、 $m=2, \frac{3}{2}, 1, \frac{1}{2}, 0$ の 5 case について計算すると Fig. 3 に示す。K が直線に近似できる。又求めた直線式より河口幅を計算した結果 $m=\frac{1}{2}$ の場合が最も実際と近い。Fig. 2 (a) に $m=2, \frac{1}{2}$ の場合を示す。(6)式で $m=\frac{1}{2}$ とその (m^3/s) グラフより得た a, b 及び $Q_w, H_o^2 T_o \sin 2\theta$ として過去データの平均量を代入すると $B=30.5(m)$ を得た。これは変動の小さくなつた時期の実測河口幅 25(m) と比べ妥当な値となつた。さらには $m=\frac{1}{2}$ のグラフより得た係数より流砂量公式(2)式の係数 K を計算すると $h=2(m)$ 、(Manningの) $n=0.02$ のとき $K=4$ を得た。この値を用いた式で求めた流砂量と既存の各流砂量公式で求めた値との比較が Table 1 であるが、いずれも既存の公式で求めた値の方が小さくなつた。同様にして漂砂量公式 $Q_x = \alpha \dot{E}_x$ の係数 α を計算すると $\alpha = 5.45 \times 10^{-4}$ となり既存の漂砂量公式と考えあわせると沿岸漂砂量 Q_x のうち実際の河口侵入する量 Q_u はその約 0.1~0.9% ということになる。

6. あとがき 今回の解析では砂洲崩壊によつて生じた河口の縮小過程を流量と波エネルギーによる砂の收支である程度表わし得た。今後は現地観測による結果との比較と河口位置の変動についてさらに解析を進めたい。

Fig. 2

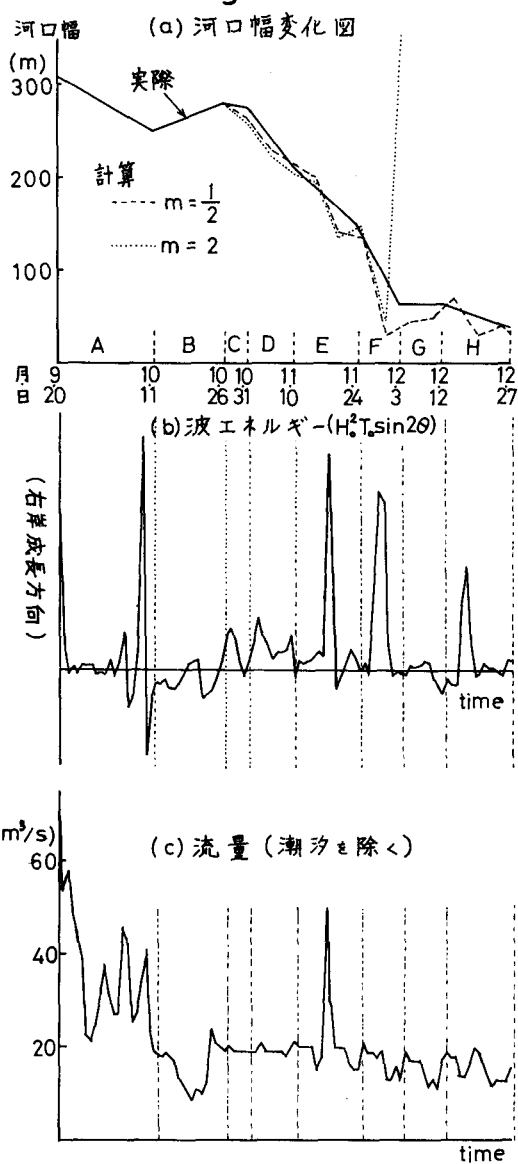


Fig. 3

